



Numerická analýza transportních procesů - NTP2

Přednáška č. 7

Sdružené nestacionární vedení tepla a vlhkosti

Sdružené nestacionární vedení tepla a vlhkosti

Modely a přístupy

- Fenomenologické modely
 - Künzelův model
- Mikromechanické přístupy
 - Lewis a Schrefler
 - Tenchev

Řídicí mechanismy, počet neznámých

- Künzelův model
2 neznámé - relativní vlhkost (φ), teplota (T)
- Lewis a Schrefler
3 neznámé - kapilární tlak (p_c), kapilární tlak plynu (p_g), teplota (T)
- Tenchev
3 neznámé - kapilární obsah vody (ρ_l), kapilární tlak plynu (p_g), teplota (T)

Künzelův model

Prezentovaný např. v:

- Künzel, H. M. (1995) Simulation of heat and moisture transport in building components, PhD thesis. Frahufer IRB Verlag, Stuttgart 1995
- Künzel, H. M. Kiessl, K. (1997) Calculation of heat and moisture transfer in exposed building components. Int. J. Heat Mass Transfer, 40, 159-167, 1997

Jedná se o jednoduchý model. Jeho výhodou je použití při analýzách stavebních konstrukcí za běžných klimatických podmínek a snadné a rychlé uplatnění fyzikálních vlastností materiálů získaných z laboratorních měření.

Řídicí mechanismy

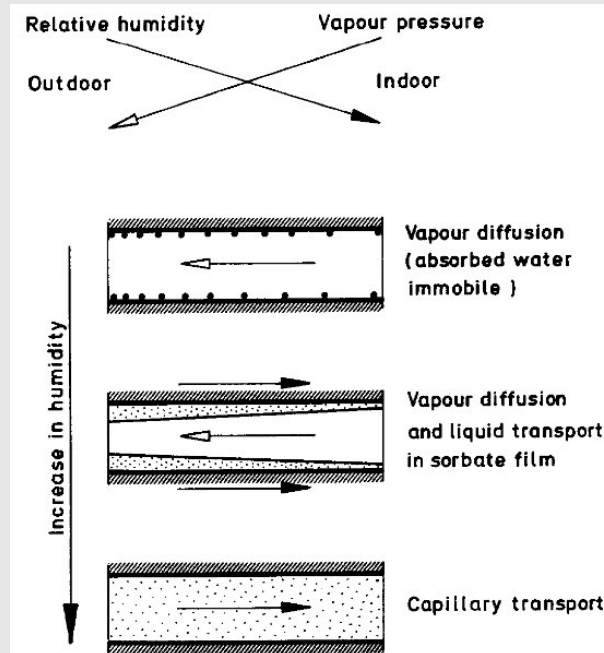
- Přenos (tok) vodní páry (plynná fáze), transport vody (kapalná fáze)
- Přenos tepla

Zavedené neznámé veličiny

- φ [-] relativní vlhkost
- T [K] teplota

Künzelův model

Přenos vlhkosti



Diferenciální rovnice sdruženého vedení tepla a vlhkosti

$$\frac{\partial w}{\partial \varphi} \frac{\partial \varphi}{\partial t} = \nabla^T (D_\varphi \nabla \varphi + \delta_p \nabla (\varphi p_{\text{sat}})) \quad (1)$$

$$\left(\rho C + \frac{\partial H_w}{\partial T} \right) \frac{\partial T}{\partial t} = \nabla^T (\lambda \nabla T) + h_v \nabla (\delta_p \nabla (\varphi p_{\text{sat}})), \quad (2)$$

kde ρ [$\text{kg} \cdot \text{m}^{-3}$] je objemová hmotnost materiálu; C [$\text{J} \cdot \text{kg}^{-1} \cdot \text{K}^{-1}$] je specifická tepelná kapacita; H_w [$\text{J} \cdot \text{m}^{-3}$] je entalpie materiálové vlhkosti; λ [$\text{W} \cdot \text{m}^{-1} \cdot \text{K}^{-1}$] je tepelná vodivost; h_v [$\text{J} \cdot \text{kg}^{-1}$] je specifické výparné teplo; δ_p [$\text{kg} \cdot \text{m} \cdot \text{s}^{-1} \cdot \text{Pa}^{-1}$] je permeabilita vodní páry v porézním materiálu; p_{sat} [Pa] je tlak nasycených vodních par; w [$\text{kg} \cdot \text{m}^{-3}$] je obsah vody; D_φ [$\text{kg} \cdot \text{m} \cdot \text{s}^{-1}$] je vodivost kapalné fáze

Difuze vodní páry

$$g_v = -\delta_p \nabla p = -\frac{\delta}{\mu} \nabla p \quad (3)$$

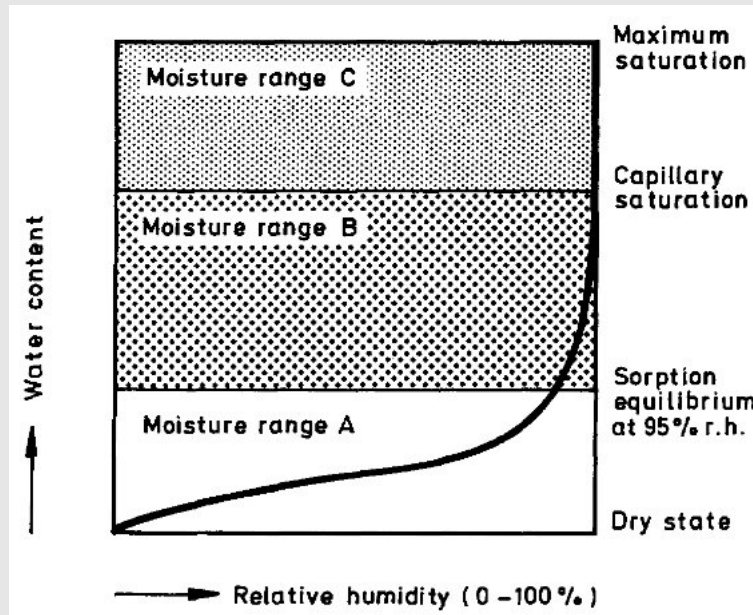
Transport vody

$$g_w = -D_\varphi \nabla \varphi, \quad (4)$$

kde $D_\varphi = D_w dw/d\varphi$.

Künzelův model

Akumulační funkce vlhkosti (Retenční křivka)



Okrajové podmínky

Dirichletova

$$T(\boldsymbol{x}, t) = \bar{T}(\boldsymbol{x}, t), \quad \boldsymbol{x} \in \Gamma_T \quad (5)$$

$$\varphi(\boldsymbol{x}, t) = \bar{\varphi}(\boldsymbol{x}, t), \quad \boldsymbol{x} \in \Gamma_\varphi \quad (6)$$

Neumannova

$$\boldsymbol{q}(\boldsymbol{x}, t) = \bar{\boldsymbol{q}}(\boldsymbol{x}, t), \quad \boldsymbol{x} \in \Gamma_{qpT}, \quad (7)$$

$$\boldsymbol{g}(\boldsymbol{x}, t) = \bar{\boldsymbol{g}}(\boldsymbol{x}, t), \quad \boldsymbol{x} \in \Gamma_{gp\varphi}, \quad (8)$$

Cauchyho

$$\boldsymbol{q}(\boldsymbol{x}, t) = \alpha(T(\boldsymbol{x}, t) - T_\infty(\boldsymbol{x}, t)), \quad \boldsymbol{x} \in \Gamma_{qcT}, \quad (9)$$

$$\boldsymbol{g}(\boldsymbol{x}, t) = \beta(p(\boldsymbol{x}, t) - p_\infty(\boldsymbol{x}, t)), \quad \boldsymbol{x} \in \Gamma_{gc\varphi}, \quad (10)$$

Pozn.: Sdružené okrajové podmínky nejsou v tomto modelu uvedeny.

Diferenciální rovnice sdruženého vedení tepla a vlhkosti

Galerkinova metoda je aplikována na obě rovnice

Na 1. rovnici (rovnice pro vlhkost) aplikujeme *Galerkinovu metodu*

$$\int_{\Omega} \delta\varphi \left(\frac{\partial w}{\partial \varphi} \frac{\partial \varphi}{\partial t} - \nabla^T (D_\varphi \nabla \varphi + \delta_p \nabla (\varphi p_{\text{sat}})) \right) d\Omega = 0. \quad (11)$$

Na 2. rovnici (rovnice pro teplo) aplikujeme *Galerkinovu metodu*

$$\int_{\Omega} \delta T \left((\rho C_v + \frac{\partial H_w}{\partial T}) \frac{\partial T}{\partial t} - \nabla^T (\lambda \nabla T) - h_v \nabla (\delta_p \nabla (\varphi p_{\text{sat}})) \right) d\Omega = 0. \quad (12)$$

Předpoklad: $\delta T = 0$ na Γ_T a $\delta\varphi = 0$ na Γ_φ

$$\int_{\Gamma_T} \delta T \lambda \frac{dT}{d\vec{n}} d\Gamma = 0 \quad \int_{\Gamma_\varphi} \delta\varphi \dots \frac{d\varphi}{d\vec{n}} d\Gamma = 0 \quad (13)$$

Řešení MKP - sdružené vedení tepla a vlhkosti

Galerkinova metoda - odvození rovnice pro vlhkost (11)

Protože

$$\begin{aligned} D_\varphi &= D_w \frac{dw}{d\varphi} \\ D_\varphi \nabla \varphi &= D_w \frac{dw}{d\varphi} \nabla \varphi, \end{aligned} \tag{14}$$

a protože p_{sat} je funkcí pouze teploty T

$$\delta_p \nabla(\varphi p_{\text{sat}}) = \delta_p \left(p_{\text{sat}} \nabla \varphi + \varphi \frac{dp_{\text{sat}}}{dT} \nabla T \right), \tag{15}$$

rovnice (11) přejde na tvar

$$\int_{\Omega} \delta \varphi \left(\frac{\partial w}{\partial \varphi} \frac{\partial \varphi}{\partial t} - \nabla^T \left(D_w \frac{dw}{d\varphi} \nabla \varphi + \delta_p p_{\text{sat}} \nabla \varphi + \delta_p \varphi \frac{dp_{\text{sat}}}{dT} \nabla T \right) \right) d\Omega = 0. \tag{16}$$

Řešení MKP - sdružené vedení tepla a vlhkosti

Galerkinova metoda - odvození rovnice pro vlhkost (11)

Integrací per-partes dostáváme

$$\int_{\Omega} \delta\varphi \left(\frac{\partial w}{\partial \varphi} \frac{\partial \varphi}{\partial t} \right) d\Omega + \int_{\Omega} \nabla \delta\varphi \left(D_w \frac{dw}{d\varphi} + \delta_p p_{\text{sat}} \right) \nabla \varphi d\Omega + \int_{\Omega} \nabla \delta\varphi \left(\delta_p \varphi \frac{dp_{\text{sat}}}{dT} \right) \nabla T d\Omega + \\ - \int_{\Gamma_{gp\varphi}} \delta\varphi \left(D_w \frac{dw}{d\varphi} + \delta_p p_{\text{sat}} \right) \frac{\partial \varphi}{\partial \vec{n}} - \int_{\Gamma_{qpT}} \delta\varphi \left(\delta_p \varphi \frac{dp_{\text{sat}}}{dT} \right) \frac{\partial T}{\partial \vec{n}} = 0. \quad (17)$$

Pozn.: Integrály na hranici (vyjadřují okrajové podmínky) jsou pouze na části hranice, kde jsou předepsané toky, viz rovnice (13). Tyto členy v konečné soustavě rovnic představují "zatížení" - pravou strany soustavy.

Řešení MKP - sdružené vedení tepla a vlhkosti

Galerkinova metoda - odvození rovnice pro teplo (12)

Uplatněním vztahu (15):

$$\delta_p \nabla(\varphi p_{\text{sat}}) = \delta_p \left(p_{\text{sat}} \nabla \varphi + \varphi \frac{dp_{\text{sat}}}{dT} \nabla T \right),$$

rovnice (12) přejde na tvar

$$\int_{\Omega} \delta T \left(\left(\rho C + \frac{\partial H_w}{\partial T} \right) \frac{\partial T}{\partial t} - \nabla^T (\lambda \nabla T) - h_v \nabla^T \left(\delta_p p_{\text{sat}} \nabla \varphi + \delta_p \varphi \frac{dp_{\text{sat}}}{dT} \nabla T \right) \right) d\Omega = 0. \quad (18)$$

Integrací per-partes dostáváme

$$\begin{aligned} & \int_{\Omega} \delta T \left(\rho C + \frac{\partial H_w}{\partial T} \right) \frac{\partial T}{\partial t} d\Omega + \int_{\Omega} \nabla \delta T \left(\lambda + h_v \delta_p \varphi \frac{dp_{\text{sat}}}{dT} \right) \nabla T d\Omega + \\ & \int_{\Omega} \nabla \delta T \left(h_v \delta_p p_{\text{sat}} \right) \nabla \varphi d\Omega - \int_{\Gamma_{gp\varphi}} \delta T \left(h_v \delta_p p_{\text{sat}} \right) \frac{\partial \varphi}{\partial \vec{n}} - \int_{\Gamma_{qpT}} \delta T \left(\lambda + h_v \delta_p \varphi \frac{dp_{\text{sat}}}{dT} \right) \frac{\partial T}{\partial \vec{n}} = 0. \end{aligned} \quad (19)$$

Pozn.: Integrály na hranici jako v rovnici pro vlhkost (vyjadřují okrajové podmínky) jsou pouze na části hranice, kde jsou předepsané toky, viz rovnice (13). Tyto členy v konečné soustavě rovnic představují "zatížení" - pravou strany soustavy.

Numerické řešení MKP

Prostorová diskretizace

Teplotu T i relativní vlhkost φ na prvku approximujeme stejným způsobem:

$$T^e = \mathbf{N}_e \mathbf{r}_T^e, \quad \text{grad} T^e = \mathbf{B}_e \mathbf{r}_T^e$$

$$\delta T^e = \mathbf{N}_e \mathbf{w}^e, \quad \text{grad} \delta T^e = \mathbf{B}_e \mathbf{w}^e$$

$$\varphi^e = \mathbf{N}_e \mathbf{r}_\varphi^e, \quad \text{grad} \varphi^e = \mathbf{B}_e \mathbf{r}_\varphi^e$$

$$\delta \varphi^e = \mathbf{N}_e \mathbf{w}^e, \quad \text{grad} \delta \varphi^e = \mathbf{B}_e \mathbf{w}^e$$

Numerické řešení MKP

$$\begin{bmatrix} \mathbf{K}_{\varphi\varphi} & \mathbf{K}_{\varphi T} \\ \mathbf{K}_{T\varphi} & \mathbf{K}_{TT} \end{bmatrix} \begin{Bmatrix} \mathbf{r}_\varphi \\ \mathbf{r}_T \end{Bmatrix} + \begin{bmatrix} \mathbf{C}_{\varphi\varphi} & \mathbf{C}_{\varphi T} \\ \mathbf{C}_{T\varphi} & \mathbf{C}_{TT} \end{bmatrix} \begin{Bmatrix} \dot{\mathbf{r}}_\varphi \\ \dot{\mathbf{r}}_T \end{Bmatrix} = \begin{Bmatrix} \mathbf{g}_\varphi \\ \mathbf{q}_T \end{Bmatrix}, \quad (20)$$

kde

$$\mathbf{K}_{\varphi\varphi} = \int_{\Omega} \mathbf{B}^T k_{\varphi\varphi} \mathbf{B} d\Omega, \quad \mathbf{K}_{\varphi T} = \int_{\Omega} \mathbf{B}^T k_{\varphi T} \mathbf{B} d\Omega,$$

$$\mathbf{K}_{T\varphi} = \int_{\Omega} \mathbf{B}^T k_{T\varphi} \mathbf{B} d\Omega, \quad \mathbf{K}_{TT} = \int_{\Omega} \mathbf{B}^T k_{TT} \mathbf{B} d\Omega,$$

$$\mathbf{C}_{\varphi\varphi} = \int_{\Omega} \mathbf{N}^T c_{\varphi\varphi} \mathbf{N} d\Omega, \quad \mathbf{C}_{\varphi T} = \int_{\Omega} \mathbf{N}^T c_{\varphi T} \mathbf{N} d\Omega,$$

$$\mathbf{C}_{T\varphi} = \int_{\Omega} \mathbf{N}^T c_{T\varphi} \mathbf{N} d\Omega, \quad \mathbf{C}_{TT} = \int_{\Omega} \mathbf{N}^T c_{TT} \mathbf{N} d\Omega,$$

$$\mathbf{g}_\varphi = \int_{\Gamma_2} \mathbf{N}^T \bar{g}_\varphi d\Gamma, \quad \mathbf{q}_T = \int_{\Gamma_2} \mathbf{N}^T \bar{q}_T d\Gamma,$$

Numerické řešení MKP

Vodivostní a kapacitní členy

$$k_{\varphi\varphi} = D_w \frac{dw}{d\varphi} + \delta_p p_{\text{sat}}, \quad k_{\varphi T} = \delta_p \varphi \frac{dp_{\text{sat}}}{dT},$$

$$k_{T\varphi} = h_v \delta_p p_{\text{sat}}, \quad k_{TT} = \lambda + h_v \delta_p \varphi \frac{dp_{\text{sat}}}{dT},$$

$$c_{\varphi\varphi} = \frac{\partial w}{\partial \varphi}, \quad c_{\varphi T} = 0,$$

$$c_{T\varphi} = 0, \quad c_{TT} = \rho C + \frac{\partial H_w}{\partial T},$$

Výsledná nesymetrická soustava algebraických nelineárních rovnic

$$K\mathbf{r} + C\dot{\mathbf{r}} = \mathbf{f} \tag{21}$$

Numerické řešení MKP

Řešení lineárního problému - časová diskretizace (v -forma)

Numerická řešení soustavy diferenciálních rovnic (21) vychází ze vztahu pro známé hodnoty vektoru \mathbf{r} v čase $n + 1$

$$\mathbf{r}_{n+1} = \mathbf{r}_n + \Delta t \mathbf{v}_{n+\alpha}, \quad (22)$$

$$\dot{\mathbf{r}} = \mathbf{v}, \quad (23)$$

kde vektor $\mathbf{v}_{n+\alpha}$:

$$\mathbf{v}_{n+\alpha} = (1 - \alpha) \mathbf{v}_n + \alpha \mathbf{v}_{n+1}. \quad (24)$$

Vektor \mathbf{v} obsahuje časové derivace pro neznámé proměnné (časová derivace vektoru \mathbf{r}). Rovnici (21) v čase $n + 1$ můžeme přepsat do následujícího tvaru

$$(\mathbf{C} + \Delta t \alpha \mathbf{K}) \mathbf{v}_{n+1} = \mathbf{F}_{n+1} - \mathbf{K} (\mathbf{r}_n + \Delta t (1 - \alpha) \mathbf{v}_n) \quad (25)$$

Numerické řešení MKP

Algoritmus řešení lineárního problému

Počáteční vektory (definované počátečními podmínkami)	$\mathbf{r}_0, \mathbf{v}_0$
dělej dokud	$i \leq n$ (n je počet časových kroků)
prediktor	$\tilde{\mathbf{r}}_{i+1} = \mathbf{r}_i + (1 - \alpha) \Delta t \mathbf{v}_i$
vektor pravé strany	$\mathbf{y}_{i+1} = \mathbf{f}_{i+1} - \mathbf{K} \tilde{\mathbf{r}}_{i+1}$
matice systému rovnic	$\mathbf{A} = \mathbf{C} + \alpha \Delta t \mathbf{K}$
řešení systému rovnic	$\mathbf{v}_{i+1} = \mathbf{A}^{-1} \mathbf{y}_{i+1}$
nová aproximace	$\mathbf{r}_{i+1} = \tilde{\mathbf{r}}_{i+1} + \alpha \Delta t \mathbf{v}_{i+1}$

Numerické řešení MKP

Řešení nelineárního problému

1. Rovnováha toků (sil)

$$\mathbf{f}_{int} + \mathbf{f}_{ext} = \mathbf{0}, \quad (26)$$

kde \mathbf{f}_{int} and \mathbf{f}_{ext} obsahují jak vypočtené (vnitřní) hodnoty tak předepsané.

uzlové toky:

$$\mathbf{f}_{int}^e = \int_{\Omega_e} \mathbf{B}_g^T \mathbf{q} d\Omega_e \quad (27)$$

gradient:

$$\mathbf{g} = \mathbf{B}_g \mathbf{r} , \quad (28)$$

tok:

$$\mathbf{q} = \mathbf{D}_q \mathbf{g} , \quad (29)$$

Residuum:

$$\mathbf{f}_{int} - \mathbf{f}_{ext} = \mathbf{R} \quad (30)$$

přírůstek vektoru \mathbf{v} je vypočten z rovnice:

$$(\mathbf{C} + \Delta t \alpha \mathbf{K}) \Delta \mathbf{v}_{n+1} = \mathbf{R} . \quad (31)$$

Numerické řešení MKP

Řešení nelineárního problému

2. Dosazení do výchozí rovnice (25)

Residuum:

$$(\mathbf{C} + \Delta t \alpha \mathbf{K}) \mathbf{v}_{n+1} + \mathbf{K} (\mathbf{r}_n + \Delta t(1 - \alpha) \mathbf{v}_n) - \mathbf{F}_{n+1} = \mathbf{R}, \quad (32)$$

přírůstek vektoru \mathbf{v} je vypočten z rovnice:

$$(\mathbf{C} + \Delta t \alpha \mathbf{K}) \Delta \mathbf{v}_{n+1} = \mathbf{R}.$$

Cyklus vnitřní iterace v i -té časovém kroku:

dělej dokud	$j \leq m$ (m je počet kroků vnitřní iterace)
výpočet residua - rovnice (26) nebo (32)	\mathbf{R}
výpočet přírůstku vektoru v rov. (31)	$\Delta \mathbf{v}_{i+1}$
výpočet vektoru v	$\mathbf{v}_{i+1} = \mathbf{v}_{i+1} + \Delta \mathbf{v}_{i+1}$

Numerické řešení MKP

Řešení nelineárního problému

- Newton-Raphsonova metoda

Matice vodivosti, kapacity a vektor pravé strany se sestavují a počítají v každém časovém kroku i v každém kroku vnitří iterace

- + přesnější řešení, numerická stabilita
- časově a výpočetně náročnější

- Modifikovaná Newton-Raphsonova metoda

Matice vodivosti, kapacity a vektor pravé strany se sestavují a počítají pouze v každém časovém kroku

- + rychlejší výpočet, časově a výpočetně méně náročné
- horší konvergence a numerická stabilita